

九州大学 大学院 学生員 ○小路 智
 九州大学 工学部 正員 橋 東一郎
 九州大学 工学部 正員 橋本 晴行
 九州大学 工学部 学生員 濱池 博文

まえがき；従来、土石流は、ビンガム流体かそれともダイラタント流体かという議論がなされてきたが、最近では、ダイラタント流体であることが定着してきたようである。しかしながら、実験的に、報告されているように¹⁾ビンガム流体の挙動の可能性を完全に否定することはできない。著者は先に²⁾、土石流の運動特性について明らかにしたが、その中で、土石流中の粒子の大部分は、相対的に、下層の粒子に対して限られた領域で衝突し、反発することなく乗り越えていく。そして、粒子群は、複雑な相互作用を及ぼしあう多体粒子系を構成しているという認識に達した。本研究は、このような基本的認識のもとづき、土石流の運動がビンガム流体的な挙動を示す可能性があることを明らかにしたものである。

相対運動をもつ2粒子の乗り越え条件に関する理論；上述のように、土石流中の i 粒子が、図-1のよう 0 粒子に衝突して、反発することなく乗り越えていく場合を考える。衝突前後 i 粒子の 0 粒子に対する相対速度を u_i' 、 u_i とし、摩擦係数を μ 、すべりの方向の単位ベクトルを s 、 0 粒子の中心から衝突点に向かう単位ベクトルを n として、次式が成立する。

$$u_i' = u_i - (u_i \cdot n)(n - \mu \cdot s) \quad (1)$$

$$\text{ここに}, \quad s = (\sin \theta, -\cos \theta \sin \varphi, \cos \theta \cos \varphi)$$

$$n = (\cos \theta, \sin \theta \sin \varphi, -\sin \theta \cos \varphi)$$

$$u_i = (-d \sin \theta \cos \varphi dy/dz, 0, 0)$$

[図-1]

である。衝突後、 i 粒子は、衝突点から u_i' という初速度で 0 粒子に沿って動きはじめるものとする。乗り越えるための障壁の最大値は、衝突点の座標を $(d/2, \theta, \varphi)$ として、 $-d \cos \varphi$ となる。従って、 i 粒子が衝突後、 0 粒子を乗り越えるためには、少なくとも次式を満たさなければならない。

$$\frac{m}{2} |u_i'|^2 - mgd \sin \theta \cos \varphi > -mgd \xi \cos \varphi \quad (2)$$

ここに、 ξ は補正係数で、 $\xi \leq 1$ である。(2)式より

$$\frac{1}{2} |u_i'|^2 > g d \cos \varphi (\sin \theta - \xi) \quad (3)$$

となり、乗り越え条件として、土石流中で(3)式が近似的に成立すると考えられる。 0 粒子の $\theta \sim \theta + d\theta$ 、 $\varphi \sim \varphi + d\varphi$ の間の角に、 i 粒子が衝突する確率は、単位体積当たりの粒子数を N として

$$dn = -(d^2 \sin \theta d\theta d\varphi \cdot n \cdot u_i) N$$

であるから、平均的乗り越え条件は

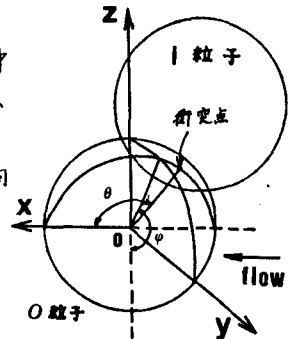
$$\int \frac{1}{2} |u_i'|^2 dn > \int g d \cos \varphi (\sin \theta - \xi) dn \quad (4)$$

となる。(4)式の積分を実行し、また、前報²⁾より

$$\frac{d(u)}{dn} = \frac{h}{d} \left(K_m \frac{\sigma - \rho}{\rho} C_* \right)^{-\frac{1}{2}} \frac{C - C_\alpha}{2C - C_s} F(C) \quad (5)$$

$$\frac{h(g \sin \theta)^{0.2}}{(d q_{wo})^{0.4}} = \left[\frac{C_\alpha}{C_s - C_\alpha} \left(\frac{\sigma - \rho}{\rho} C_* \right)^{0.5} \right]^{\frac{1}{2}} / \left[\int_{C_\alpha}^{C_s} \frac{2C - C_s}{C - C_\alpha} \left(\int_C^{C_s} F(C) dC \right) dC \right]^{\frac{2}{5}} \quad (6)$$

$$F(C) = \frac{2C - C_s}{C - C_\alpha} \frac{(1 - C/C_*)^{\frac{1}{2}}}{C/C_*} \left[(C - C_\alpha) \left\{ \frac{\sigma - \rho}{\rho} (C + 2C_\alpha) + 2 \right\} \right. \\ \left. + \left(1 + \frac{\sigma - \rho}{\rho} C_\alpha \right) (2C_\alpha - C_s) \ln \frac{C - C_\alpha}{C_s - C_\alpha} \right]^{\frac{1}{2}}$$



$\eta = Z/h$, Q_{wo} ; 単位幅給水量, θ_0 ; 河床勾配, $\mu = 0.1$, $\chi = 1/3$, C_s ; 表面濃度であることを考慮して、(1)式を代入すれば、輸送濃度を C_{TP} とし

$$\frac{d \cdot g^{\frac{1}{2}}}{Q_{wo}^{\frac{3}{2}}} < \left[\left\{ \frac{4(1 + \frac{1}{8}\mu + \frac{2}{3}\mu^2)}{21\pi(\chi/3 - 1/4)} \right\}^5 \left(K_m \frac{\sigma}{P} \right)^{-4} \sin^4 \theta_0 \left\{ \frac{C_s - C_a}{2C - C_s} F(C) \right\}^{10} F_i^2 \right]^{\frac{1}{3}} \equiv [d] \quad (7)$$

$$\text{ここに, } F_i = \frac{C_a}{C_s - C_a} / \int_{C_a}^{C_s} \frac{2C - C_s}{C - C_a} \left(\int_C^{C_s} F(C) dC \right) dC$$

結局、土石流中の粒子の乗り越え条件は、(7)式となる。

ところで、前報²⁾すでに明らかにしてあるように、j 粒子が、衝突後、乗り越えて（乗り上げて）行くことが、巨視的に見て、せん断流となる条件である。従って、(7)式を満たすならば、土石流はせん断流となり、満たさない領域が存在すれば、その領域はせん断流とは異なった流れとなることが予想される。

数値計算の結果を表す； $\theta_0 = 16^\circ$, $\zeta = 1.0, 0.9, 0.8, \dots$
3 ケースについて [d] の分布を計算した結果を図-2 に示す。
今、 $d = 0.46 \text{ cm}$, $Q_{wo} = 200 \text{ cm}^3/\text{s}$ としたとき
 $d \cdot g^{\frac{1}{2}}/Q_{wo}^{\frac{3}{2}} = 0.1336$ であり、(7)式を満足しない

領域として、表層部と底層部が存在することが分かる。

次に $\theta_0 = 0.9 \sim 1.7^\circ$, $\theta_0 = 14^\circ, 16^\circ, 18^\circ, 20^\circ$ のそれぞれについて、[d] の分布を調べると図-3 になる。 θ_0 の増加に伴い、(7)式を満足しない領域が、よくに表層部において拡大する二つがわかる。

なお、図-4 に、 $d = 0.46 \text{ cm}$, $Q_{wo} = 200 \text{ cm}^3/\text{s}$ の場合の土石流実験の流速分布を示す。図-3 の数値計算結果と対応して、急勾配ほど、表層部にせん断流とは異なった様流速の部分があらわれることがわかる。

また、底層部では、堆積層を引きずるような流速分布を示す。従って、(7)式を満たさない領域が表層部で、あらわれる場合は、そこでは一様流速を示すと、解釈することができる。

さらに、粒径が大きくなる土石流ほど(7)式を満足しない領域が増加していく。この場合も、図-4 に示すような流速分布とは異なった分布を示す可能性が予想される。

おわりに； 土石流の流動特性に関する、粒子の乗り越え条件を考慮することにより、せん断流とは異なった流れが存在することを明らかにすることができた。

今後、より大きい粒径をもつ粒子の土石流の流動特性について実験を行う予定である。

参考文献：

1) 楠、中山、羽田野；土木学会西部支部研究発表会講演集。(1977)

2) 楠、橋本、末次；土木学会論文集 No. 317 (1982) 土石流における粒子間応力と流動特性

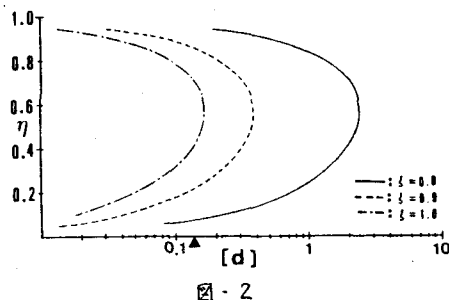


図-2

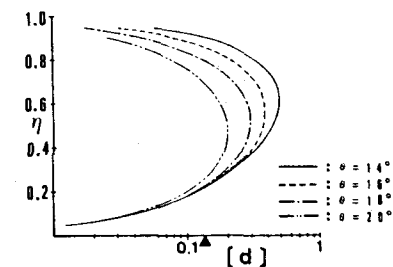


図-3

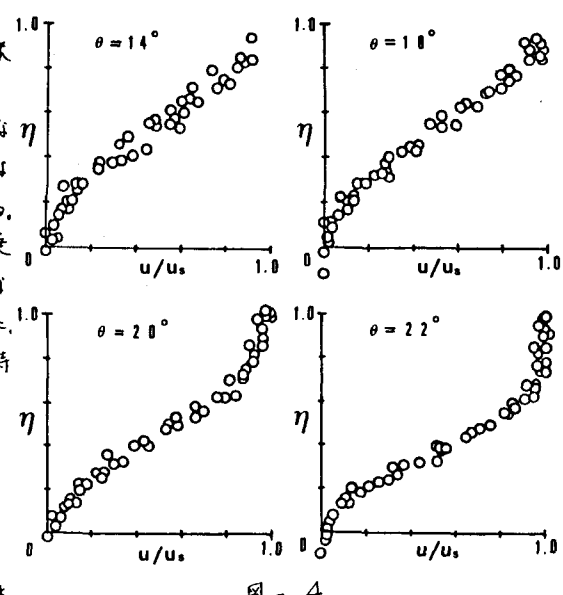


図-4